Siehe ähnliche Dateien: http://www.ps.bam.de/ZG64/; www.ps.bam.de/ZG.HTM
Technische Information: http://www.ps.bam.de Version 2.1, io=1,1, CIELAB

BAM-Registrierung: 20071001-ZG64/10L/L64G00FA.PS/.TXT BAM-Material: Code=rha4ta
Anwendung für Beurteilung und Messung von Drucker– oder Monitorsystemen

Eingabe: Farbmetrisches Offset-Reflektiv-System ORS18

für Buntton *h = lab*h = 38/360 = 0.105**
lab*tch* und *lab*nch
D65: Buntton O
LCH*Ma: 48 83 38
olv*Ma: 1.0 0.0 0.0

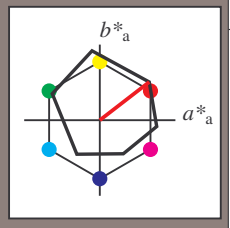

ORS18; adaptierte CIELAB-Daten

	$L^*=L^*_a$	a^*_a	b^*_a	$C^*_{ab,a}$	$h^*_{ab,a}$
O_{Ma}	47.94	65.39	50.52	82.63	38
Y_{Ma}	90.37	−10.26	91.75	92.32	96
L_{Ma}	50.9	−62.83	34.96	71.91	151
C_{Ma}	58.62	−30.34	−45.01	54.3	236
V_{Ma}	25.72	31.1	−44.4	54.22	305
M_{Ma}	48.13	75.28	−8.36	75.74	354
N_{Ma}	18.01	0.0	0.0	0.0	0
W_{Ma}	95.41	0.0	0.0	0.0	0
R_{CIE}	39.92	58.66	26.98	64.57	25
J_{CIE}	81.26	−2.16	67.76	67.79	92
G_{CIE}	52.23	−42.25	11.76	43.87	164
B_{CIE}	30.57	1.15	−46.84	46.86	271

Dreiecks-Helligkeit *t**

%Umfang
u^*_{rel} = 93
%Regularität
$g^*_{H,rel}$ = 57
$g^*_{C,rel}$ = 59

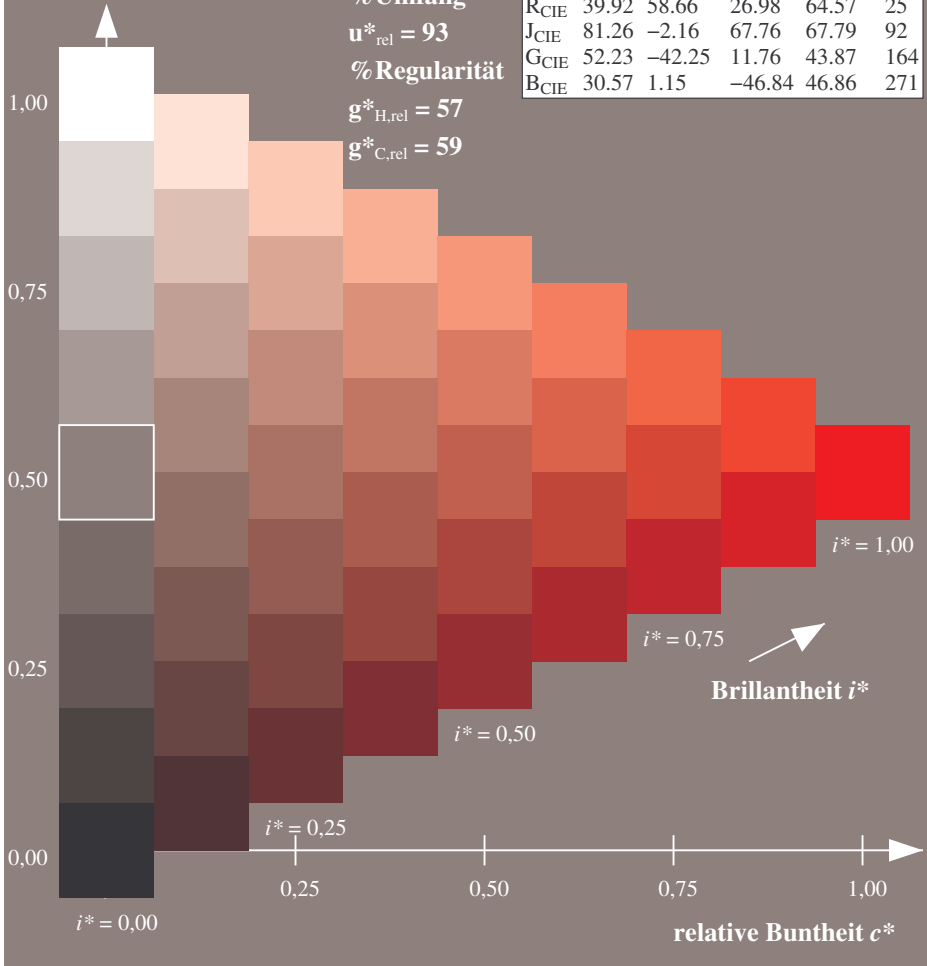

Ausgabe: Farbmetrisches Offset-Reflektiv-System ORS18

für Buntton *h = lab*h = 38/360 = 0.105**
lab*tch* und *lab*nch
D65: Buntton O
LCH*Ma: 48 83 38
olv*Ma: 1.0 0.0 0.0

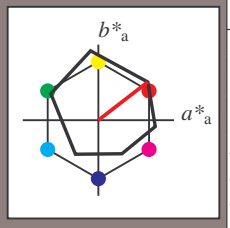

ORS18; adaptierte CIELAB-Daten

	$L^*=L^*_a$	a^*_a	b^*_a	$C^*_{ab,a}$	$h^*_{ab,a}$
R	48.0	68.58	31.54	75.48	25
R25J	50.11	61.52	52.63	80.96	41
R50J	62.87	38.77	65.02	75.71	59
R75J	74.87	17.37	76.69	78.63	77
J	86.19	−2.8	87.69	87.73	92
J25G	84.01	−18.73	82.6	84.7	103
J50G	71.17	−35.83	64.13	73.46	119
J75G	56.99	−54.71	43.72	70.05	141
G	52.8	−54.82	15.26	56.92	164
G25B	54.69	−46.87	−4.31	47.08	185
G50B	57.25	−36.1	−30.82	47.48	220
G75B	49.61	−13.51	−44.85	46.85	253
B	41.78	1.1	−44.7	44.72	271
B25R	29.34	24.33	−44.47	50.7	299
B50R	40.78	60.78	−20.18	64.05	342
B75R	48.06	71.56	13.77	72.87	11

Dreiecks-Helligkeit *t**

%Umfang
u^*_{rel} = 93
%Regularität
$g^*_{H,rel}$ = 57
$g^*_{C,rel}$ = 59

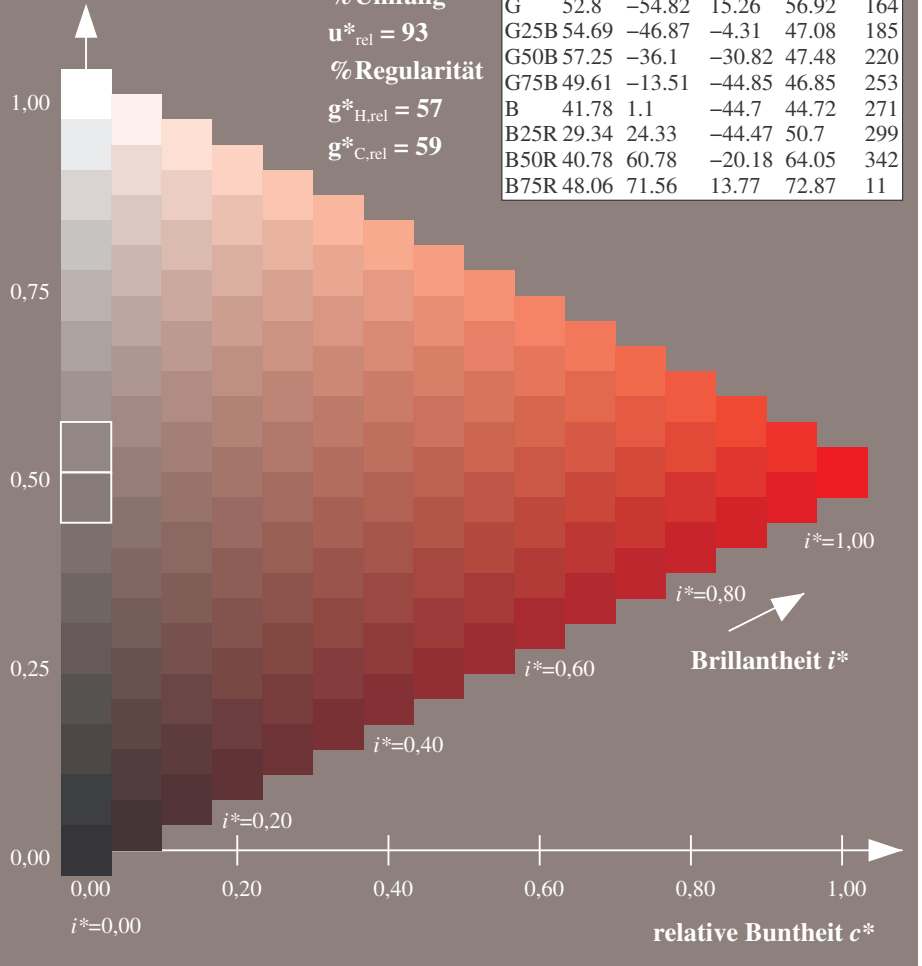

ZG640–7F, 9stufige Reihen für konstanten CIELAB Buntton 38/360 = 0.105 (links) Seite 1/10 ZG640–7F, 16stufige Reihen für konstanten CIELAB Buntton 38/360 = 0.105 (rechts)

Siehe ähnliche Dateien: http://www.ps.bam.de/ZG64/; www.ps.bam.de/ZG.HTM
Technische Information: http://www.ps.bam.de Version 2.1, io=1,1, CIELAB

BAM-Registrierung: 20071001-ZG64/10L/L64G00FA.PS/.TXT BAM-Material: Code=rha4ta
Anwendung für Beurteilung und Messung von Drucker– oder Monitorsystemen

Eingabe: Farbmetrisches Offset-Reflektiv-System ORS18

für Buntton *h = *lab*h* = 96/360 = 0.268**
lab*tch* und *lab*nch
D65: Buntton Y
LCH*Ma: 90 92 96
olv*Ma: 1.0 1.0 0.0

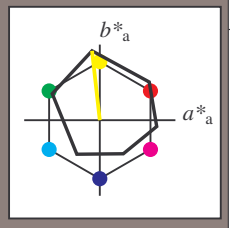

ORS18; adaptierte CIELAB-Daten

	$L^*=L^*_a$	a^*_a	b^*_a	$C^*_{ab,a}$	$h^*_{ab,a}$
O_{Ma}	47.94	65.39	50.52	82.63	38
Y_{Ma}	90.37	−10.26	91.75	92.32	96
L_{Ma}	50.9	−62.83	34.96	71.91	151
C_{Ma}	58.62	−30.34	−45.01	54.3	236
V_{Ma}	25.72	31.1	−44.4	54.22	305
M_{Ma}	48.13	75.28	−8.36	75.74	354
N_{Ma}	18.01	0.0	0.0	0.0	0
W_{Ma}	95.41	0.0	0.0	0.0	0
R_{CIE}	39.92	58.66	26.98	64.57	25
J_{CIE}	81.26	−2.16	67.76	67.79	92
G_{CIE}	52.23	−42.25	11.76	43.87	164
B_{CIE}	30.57	1.15	−46.84	46.86	271

Dreiecks-Helligkeit *t**

%Umfang
u^*_{rel} = 93
%Regularität
$g^*_{H,rel}$ = 57
$g^*_{C,rel}$ = 59

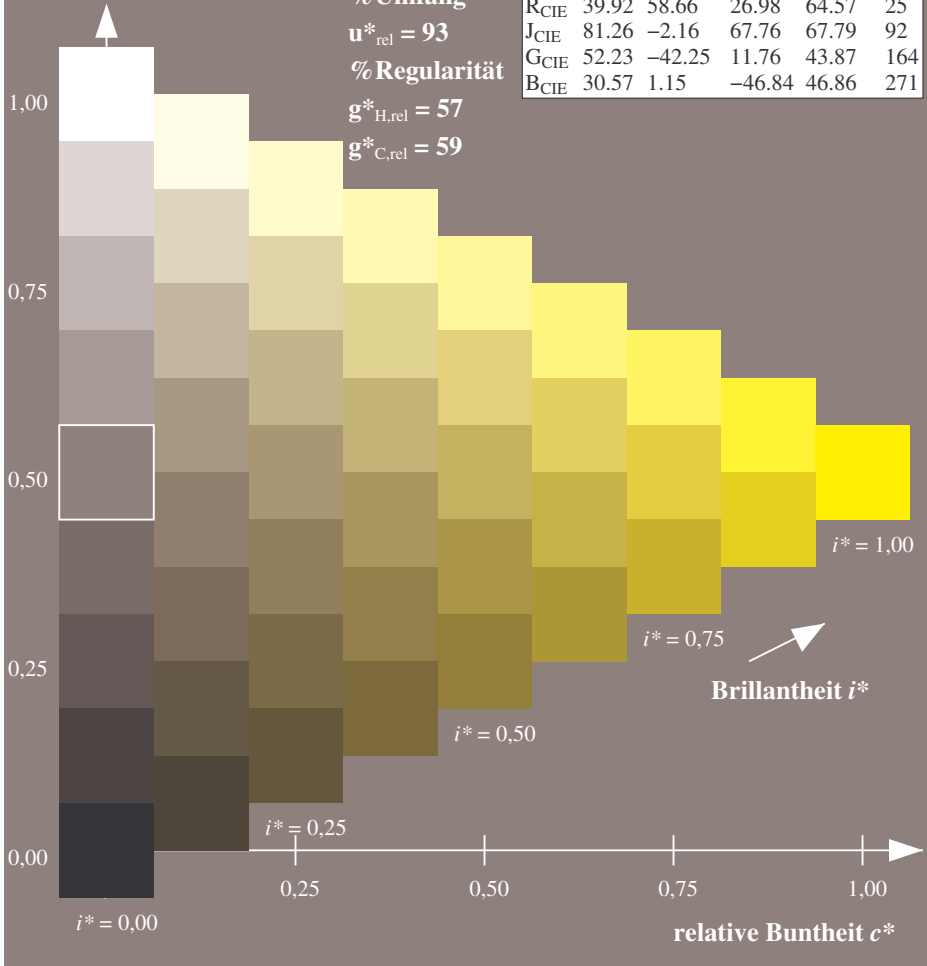

Ausgabe: Farbmetrisches Offset-Reflektiv-System ORS18

für Buntton *h = *lab*h* = 96/360 = 0.268**
lab*tch* und *lab*nch
D65: Buntton Y
LCH*Ma: 90 92 96
olv*Ma: 1.0 1.0 0.0

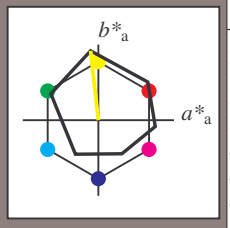

ORS18; adaptierte CIELAB-Daten

	$L^*=L^*_a$	a^*_a	b^*_a	$C^*_{ab,a}$	$h^*_{ab,a}$
R	48.0	68.58	31.54	75.48	25
R25J	50.11	61.52	52.63	80.96	41
R50J	62.87	38.77	65.02	75.71	59
R75J	74.87	17.37	76.69	78.63	77
J	86.19	−2.8	87.69	87.73	92
J25G	84.01	−18.73	82.6	84.7	103
J50G	71.17	−35.83	64.13	73.46	119
J75G	56.99	−54.71	43.72	70.05	141
G	52.8	−54.82	15.26	56.92	164
G25B	54.69	−46.87	−4.31	47.08	185
G50B	57.25	−36.1	−30.82	47.48	220
G75B	49.61	−13.51	−44.85	46.85	253
B	41.78	1.1	−44.7	44.72	271
B25R	29.34	24.33	−44.47	50.7	299
B50R	40.78	60.78	−20.18	64.05	342
B75R	48.06	71.56	13.77	72.87	11

Dreiecks-Helligkeit *t**

%Umfang
u^*_{rel} = 93
%Regularität
$g^*_{H,rel}$ = 57
$g^*_{C,rel}$ = 59

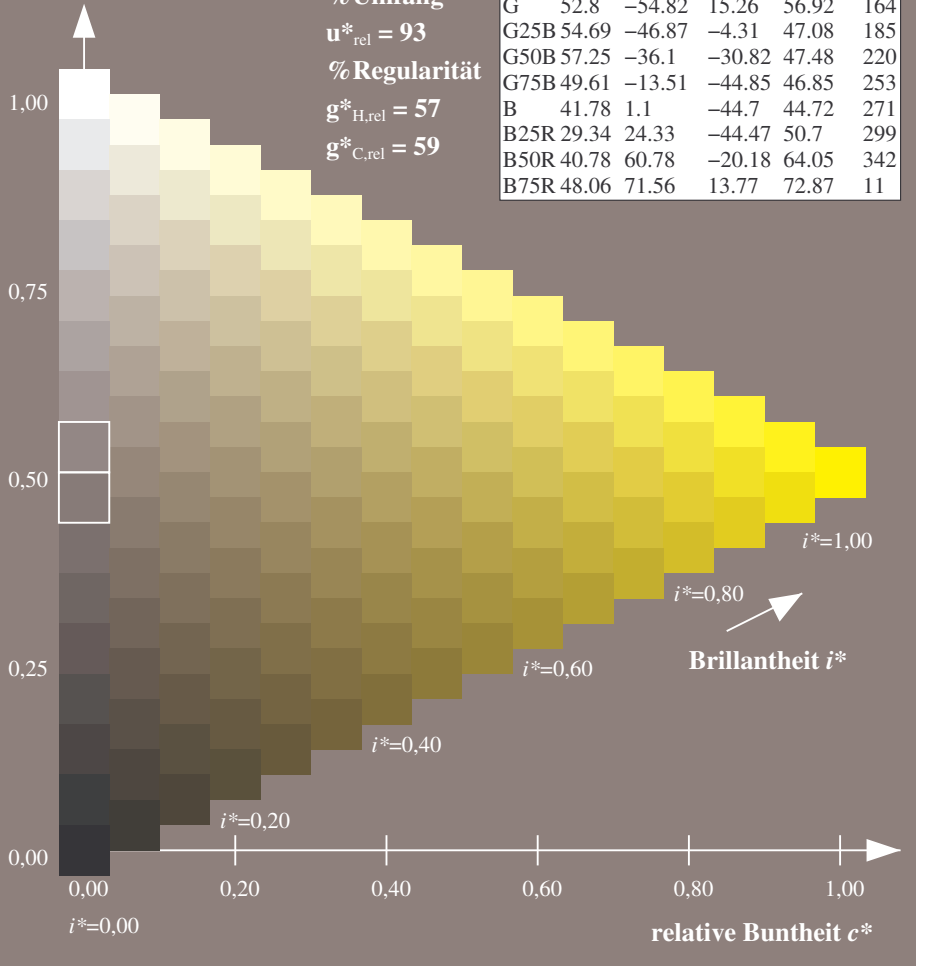

ZG640–7F, 9stufige Reihen für konstanten CIELAB Buntton 96/360 = 0.268 (links) Seite 2/10 ZG640–7F, 16stufige Reihen für konstanten CIELAB Buntton 96/360 = 0.268 (rechts)

Siehe ähnliche Dateien: http://www.ps.bam.de/ZG64/; www.ps.bam.de/ZG.HTM
Technische Information: http://www.ps.bam.de Version 2.1, io=1,1, CIELAB

BAM-Registrierung: 20071001-ZG64/10L/L64G00FA.PS/.TXT BAM-Material: Code=rha4ta
Anwendung für Beurteilung und Messung von Drucker– oder Monitorsystemen

Eingabe: Farbmetrisches Offset-Reflektiv-System ORS18

für Buntton *h = *lab*h* = 151/360 = 0.419**

lab*tch* und *lab*nch

D65: Buntton L

LCH*Ma: 51 72 151

olv*Ma: 0.0 1.0 0.0

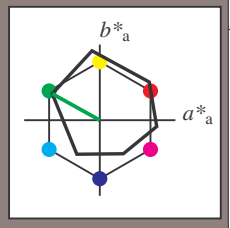

ORS18; adaptierte CIELAB-Daten

	$L^*=L^*_a$	a^*_a	b^*_a	$C^*_{ab,a}$	$h^*_{ab,a}$
O_{Ma}	47.94	65.39	50.52	82.63	38
Y_{Ma}	90.37	−10.26	91.75	92.32	96
L_{Ma}	50.9	−62.83	34.96	71.91	151
C_{Ma}	58.62	−30.34	−45.01	54.3	236
V_{Ma}	25.72	31.1	−44.4	54.22	305
M_{Ma}	48.13	75.28	−8.36	75.74	354
N_{Ma}	18.01	0.0	0.0	0.0	0
W_{Ma}	95.41	0.0	0.0	0.0	0
R_{CIE}	39.92	58.66	26.98	64.57	25
J_{CIE}	81.26	−2.16	67.76	67.79	92
G_{CIE}	52.23	−42.25	11.76	43.87	164
B_{CIE}	30.57	1.15	−46.84	46.86	271

Dreiecks-Helligkeit *t**

%Umfang

u^*_{rel} = 93

%Regularität

$g^*_{H,rel}$ = 57

$g^*_{C,rel}$ = 59

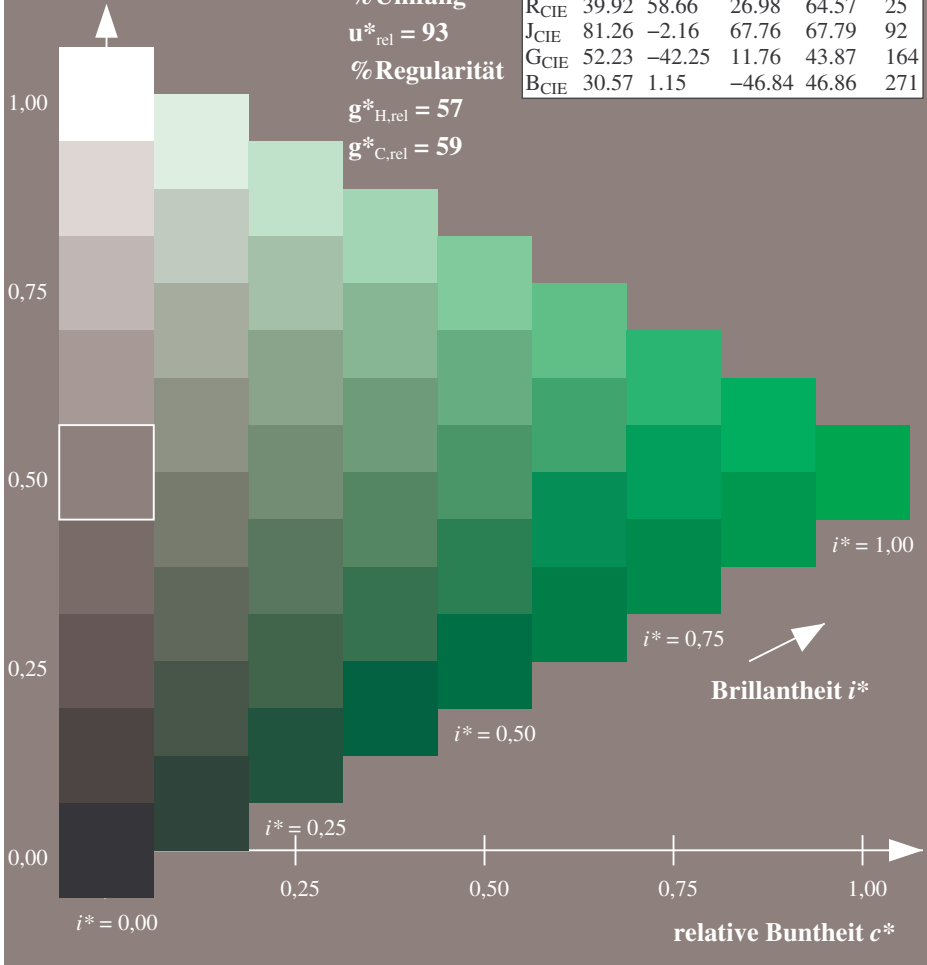

Ausgabe: Farbmetrisches Offset-Reflektiv-System ORS18

für Buntton *h = *lab*h* = 151/360 = 0.419**

lab*tch* und *lab*nch

D65: Buntton L

LCH*Ma: 51 72 151

olv*Ma: 0.0 1.0 0.0

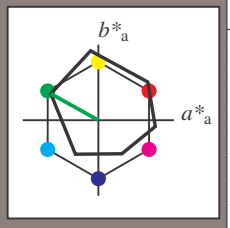

ORS18; adaptierte CIELAB-Daten

	$L^*=L^*_a$	a^*_a	b^*_a	$C^*_{ab,a}$	$h^*_{ab,a}$
R	48.0	68.58	31.54	75.48	25
R25J	50.11	61.52	52.63	80.96	41
R50J	62.87	38.77	65.02	75.71	59
R75J	74.87	17.37	76.69	78.63	77
J	86.19	−2.8	87.69	87.73	92
J25G	84.01	−18.73	82.6	84.7	103
J50G	71.17	−35.83	64.13	73.46	119
J75G	56.99	−54.71	43.72	70.05	141
G	52.8	−54.82	15.26	56.92	164
G25B	54.69	−46.87	−4.31	47.08	185
G50B	57.25	−36.1	−30.82	47.48	220
G75B	49.61	−13.51	−44.85	46.85	253
B	41.78	1.1	−44.7	44.72	271
B25R	29.34	24.33	−44.47	50.7	299
B50R	40.78	60.78	−20.18	64.05	342
B75R	48.06	71.56	13.77	72.87	11

Dreiecks-Helligkeit *t**

%Umfang

u^*_{rel} = 93

%Regularität

$g^*_{H,rel}$ = 57

$g^*_{C,rel}$ = 59

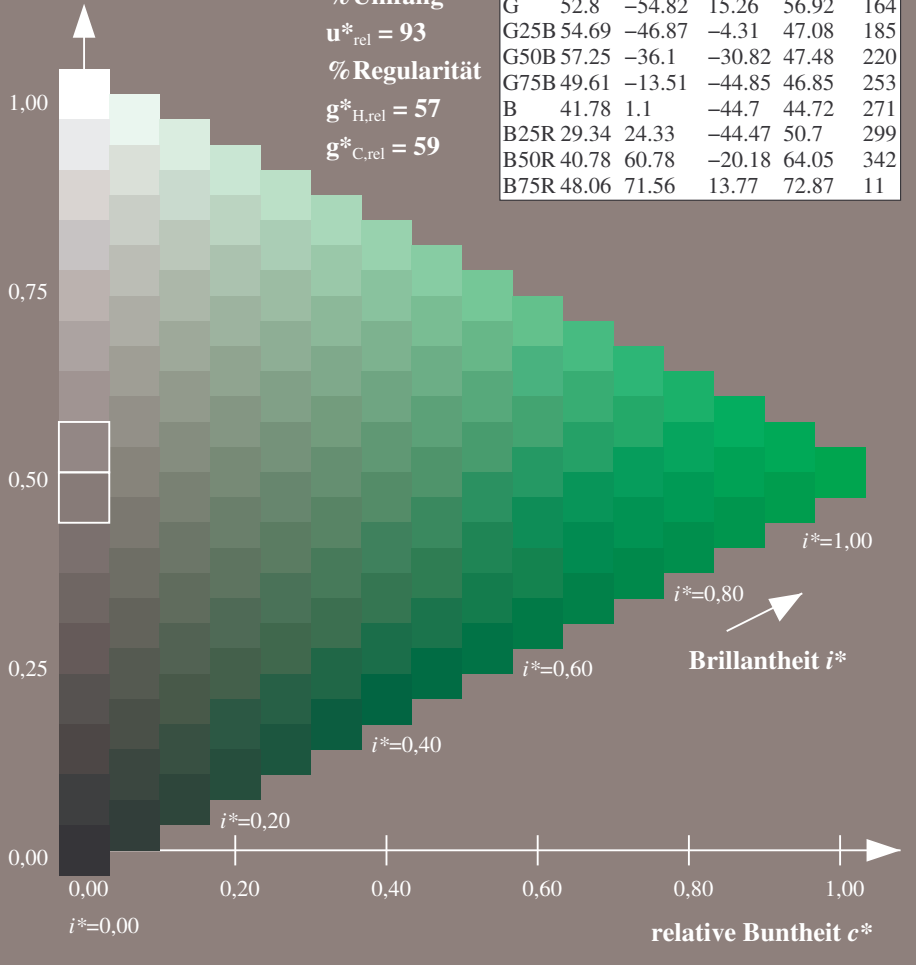

ZG640–7F, 9stufige Reihen für konstanten CIELAB Buntton 151/360 = 0.419 (links) Seite 3/10 ZG640–7F, 16stufige Reihen für konstanten CIELAB Buntton 151/360 = 0.419 (rechts)

Siehe ähnliche Dateien: http://www.ps.bam.de/ZG64/; www.ps.bam.de/ZG.HTM
Technische Information: http://www.ps.bam.de Version 2.1, io=1,1, CIELAB

BAM-Registrierung: 20071001-ZG64/10L/L64G00FA.PS/.TXT BAM-Material: Code=rha4ta
Anwendung für Beurteilung und Messung von Drucker– oder Monitorsystemen

Eingabe: Farbmetrisches Offset-Reflektiv-System ORS18

für Buntton *h = *lab*h* = 236/360 = 0.656**

lab*tch* und *lab*nch

D65: Buntton C

LCH*Ma: 59 54 236

olv*Ma: 0.0 1.0 1.0

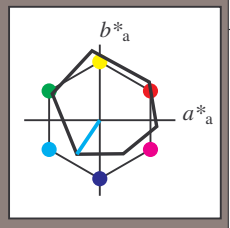

ORS18; adaptierte CIELAB-Daten

	$L^*=L^*_a$	a^*_a	b^*_a	$C^*_{ab,a}$	$h^*_{ab,a}$
O_{Ma}	47.94	65.39	50.52	82.63	38
Y_{Ma}	90.37	−10.26	91.75	92.32	96
L_{Ma}	50.9	−62.83	34.96	71.91	151
C_{Ma}	58.62	−30.34	−45.01	54.3	236
V_{Ma}	25.72	31.1	−44.4	54.22	305
M_{Ma}	48.13	75.28	−8.36	75.74	354
N_{Ma}	18.01	0.0	0.0	0.0	0
W_{Ma}	95.41	0.0	0.0	0.0	0
R_{CIE}	39.92	58.66	26.98	64.57	25
J_{CIE}	81.26	−2.16	67.76	67.79	92
G_{CIE}	52.23	−42.25	11.76	43.87	164
B_{CIE}	30.57	1.15	−46.84	46.86	271

Dreiecks-Helligkeit *t**

%Umfang

u^*_{rel} = 93

%Regularität

$g^*_{H,rel}$ = 57

$g^*_{C,rel}$ = 59

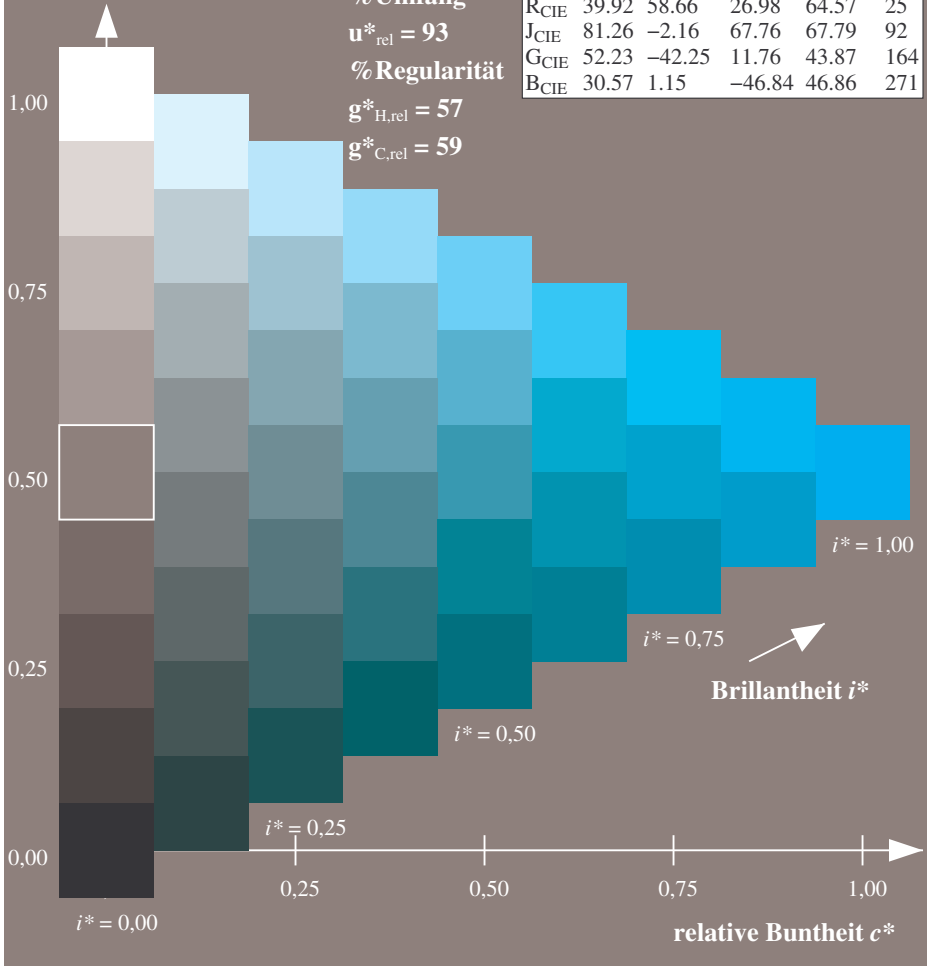

Ausgabe: Farbmetrisches Offset-Reflektiv-System ORS18

für Buntton *h = *lab*h* = 236/360 = 0.656**

lab*tch* und *lab*nch

D65: Buntton C

LCH*Ma: 59 54 236

olv*Ma: 0.0 1.0 1.0

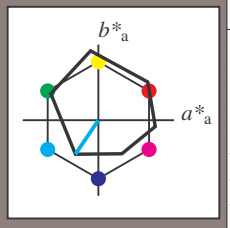

ORS18; adaptierte CIELAB-Daten

	$L^*=L^*_a$	a^*_a	b^*_a	$C^*_{ab,a}$	$h^*_{ab,a}$
R	48.0	68.58	31.54	75.48	25
R25J	50.11	61.52	52.63	80.96	41
R50J	62.87	38.77	65.02	75.71	59
R75J	74.87	17.37	76.69	78.63	77
J	86.19	−2.8	87.69	87.73	92
J25G	84.01	−18.73	82.6	84.7	103
J50G	71.17	−35.83	64.13	73.46	119
J75G	56.99	−54.71	43.72	70.05	141
G	52.8	−54.82	15.26	56.92	164
G25B	54.69	−46.87	−4.31	47.08	185
G50B	57.25	−36.1	−30.82	47.48	220
G75B	49.61	−13.51	−44.85	46.85	253
B	41.78	1.1	−44.7	44.72	271
B25R	29.34	24.33	−44.47	50.7	299
B50R	40.78	60.78	−20.18	64.05	342
B75R	48.06	71.56	13.77	72.87	11

Dreiecks-Helligkeit *t**

%Umfang

u^*_{rel} = 93

%Regularität

$g^*_{H,rel}$ = 57

$g^*_{C,rel}$ = 59

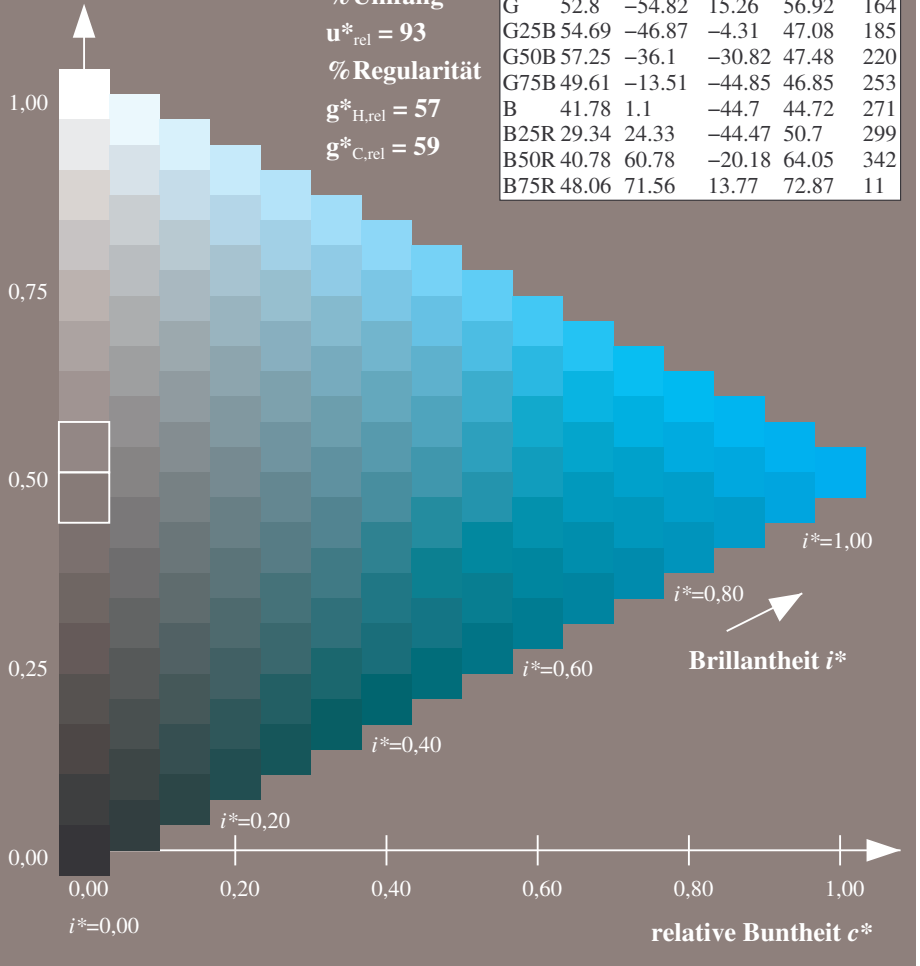

ZG640–7F, 9stufige Reihen für konstanten CIELAB Buntton 236/360 = 0.656 (links) Seite 4/10 ZG640–7F, 16stufige Reihen für konstanten CIELAB Buntton 236/360 = 0.656 (rechts)

Siehe ähnliche Dateien: http://www.ps.bam.de/ZG64/; www.ps.bam.de/ZG.HTM
Technische Information: http://www.ps.bam.de Version 2.1, io=1,1, CIELAB

BAM-Registrierung: 20071001-ZG64/10L/L64G00FA.PS/.TXT BAM-Material: Code=rha4ta
Anwendung für Beurteilung und Messung von Drucker– oder Monitorsystemen

Eingabe: Farbmetrisches Offset-Reflektiv-System ORS18

für Buntton *h = *lab*h* = 305/360 = 0.847**

lab*tch* und *lab*nch

D65: Buntton V

LCH*Ma: 26 54 305

olv*Ma: 0.0 0.0 1.0

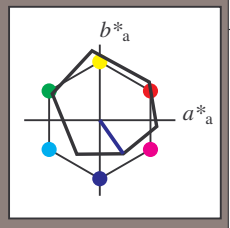

ORS18; adaptierte CIELAB-Daten

	$L^*=L^*_a$	a^*_a	b^*_a	$C^*_{ab,a}$	$h^*_{ab,a}$
O_{Ma}	47.94	65.39	50.52	82.63	38
Y_{Ma}	90.37	−10.26	91.75	92.32	96
L_{Ma}	50.9	−62.83	34.96	71.91	151
C_{Ma}	58.62	−30.34	−45.01	54.3	236
V_{Ma}	25.72	31.1	−44.4	54.22	305
M_{Ma}	48.13	75.28	−8.36	75.74	354
N_{Ma}	18.01	0.0	0.0	0.0	0
W_{Ma}	95.41	0.0	0.0	0.0	0
R_{CIE}	39.92	58.66	26.98	64.57	25
J_{CIE}	81.26	−2.16	67.76	67.79	92
G_{CIE}	52.23	−42.25	11.76	43.87	164
B_{CIE}	30.57	1.15	−46.84	46.86	271

Dreiecks-Helligkeit *t**

%Umfang

u^*_{rel} = 93

%Regularität

$g^*_{H,rel}$ = 57

$g^*_{C,rel}$ = 59

1,00
0,75
0,50
0,25
0,00

*i** = 1,00
*i** = 0,75
*i** = 0,50
*i** = 0,25
*i** = 0,00

Brillantheit *i**

0,25 0,50 0,75 1,00

relative Buntheit *c**

Ausgabe: Farbmetrisches Offset-Reflektiv-System ORS18

für Buntton *h = *lab*h* = 305/360 = 0.847**

lab*tch* und *lab*nch

D65: Buntton V

LCH*Ma: 26 54 305

olv*Ma: 0.0 0.0 1.0

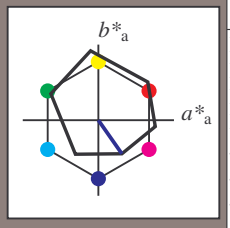

ORS18; adaptierte CIELAB-Daten

	$L^*=L^*_a$	a^*_a	b^*_a	$C^*_{ab,a}$	$h^*_{ab,a}$
R	48.0	68.58	31.54	75.48	25
R25J	50.11	61.52	52.63	80.96	41
R50J	62.87	38.77	65.02	75.71	59
R75J	74.87	17.37	76.69	78.63	77
J	86.19	−2.8	87.69	87.73	92
J25G	84.01	−18.73	82.6	84.7	103
J50G	71.17	−35.83	64.13	73.46	119
J75G	56.99	−54.71	43.72	70.05	141
G	52.8	−54.82	15.26	56.92	164
G25B	54.69	−46.87	−4.31	47.08	185
G50B	57.25	−36.1	−30.82	47.48	220
G75B	49.61	−13.51	−44.85	46.85	253
B	41.78	1.1	−44.7	44.72	271
B25R	29.34	24.33	−44.47	50.7	299
B50R	40.78	60.78	−20.18	64.05	342
B75R	48.06	71.56	13.77	72.87	11

Dreiecks-Helligkeit *t**

%Umfang

u^*_{rel} = 93

%Regularität

$g^*_{H,rel}$ = 57

$g^*_{C,rel}$ = 59

1,00
0,75
0,50
0,25
0,00

*i**=1,00
*i**=0,80
*i**=0,60
*i**=0,40
*i**=0,20
*i**=0,00

Brillantheit *i**

0,00 0,20 0,40 0,60 0,80 1,00

relative Buntheit *c**

ZG640–7F, 9stufige Reihen für konstanten CIELAB Buntton 305/360 = 0.847 (links) Seite 5/10 ZG640–7F, 16stufige Reihen für konstanten CIELAB Buntton 305/360 = 0.847 (rechts)

Siehe ähnliche Dateien: http://www.ps.bam.de/ZG64/; www.ps.bam.de/ZG.HTM
Technische Information: http://www.ps.bam.de Version 2.1, io=1,1, CIELAB

BAM-Registrierung: 20071001-ZG64/10L/L64G00FA.PS/.TXT BAM-Material: Code=rha4ta
Anwendung für Beurteilung und Messung von Drucker– oder Monitorsystemen

Eingabe: Farbmetrisches Offset-Reflektiv-System ORS18

für Buntton *h = *lab*h* = 354/360 = 0.982**
lab*tch* und *lab*nch
D65: Buntton M
LCH*Ma: 48 76 354
olv*Ma: 1.0 0.0 1.0

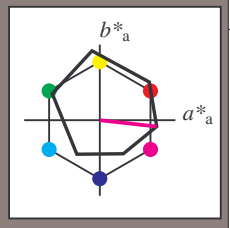

ORS18; adaptierte CIELAB-Daten

	$L^*=L^*_a$	a^*_a	b^*_a	$C^*_{ab,a}$	$h^*_{ab,a}$
O_{Ma}	47.94	65.39	50.52	82.63	38
Y_{Ma}	90.37	−10.26	91.75	92.32	96
L_{Ma}	50.9	−62.83	34.96	71.91	151
C_{Ma}	58.62	−30.34	−45.01	54.3	236
V_{Ma}	25.72	31.1	−44.4	54.22	305
M_{Ma}	48.13	75.28	−8.36	75.74	354
N_{Ma}	18.01	0.0	0.0	0.0	0
W_{Ma}	95.41	0.0	0.0	0.0	0
R_{CIE}	39.92	58.66	26.98	64.57	25
J_{CIE}	81.26	−2.16	67.76	67.79	92
G_{CIE}	52.23	−42.25	11.76	43.87	164
B_{CIE}	30.57	1.15	−46.84	46.86	271

Dreiecks-Helligkeit *t**

%Umfang
u^*_{rel} = 93
%Regularität
$g^*_{H,rel}$ = 57
$g^*_{C,rel}$ = 59

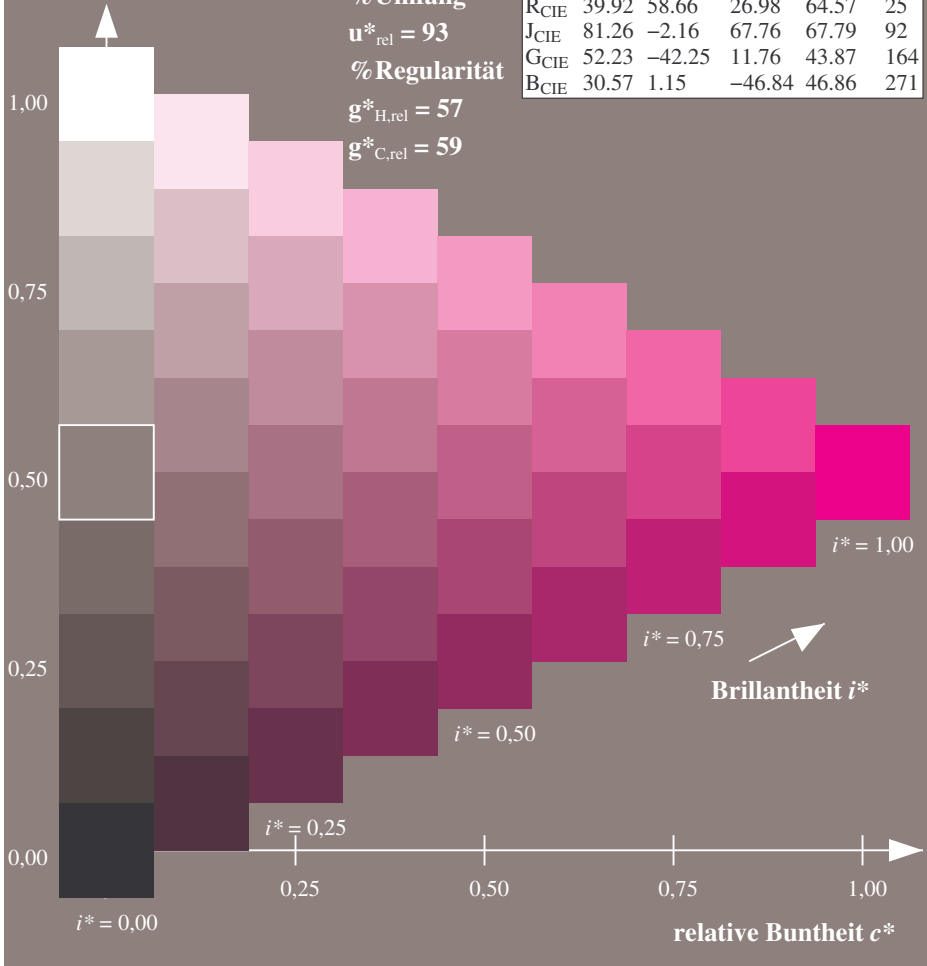

Ausgabe: Farbmetrisches Offset-Reflektiv-System ORS18

für Buntton *h = *lab*h* = 354/360 = 0.982**
lab*tch* und *lab*nch
D65: Buntton M
LCH*Ma: 48 76 354
olv*Ma: 1.0 0.0 1.0

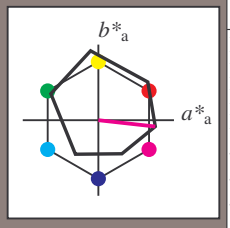

ORS18; adaptierte CIELAB-Daten

	$L^*=L^*_a$	a^*_a	b^*_a	$C^*_{ab,a}$	$h^*_{ab,a}$
R	48.0	68.58	31.54	75.48	25
R25J	50.11	61.52	52.63	80.96	41
R50J	62.87	38.77	65.02	75.71	59
R75J	74.87	17.37	76.69	78.63	77
J	86.19	−2.8	87.69	87.73	92
J25G	84.01	−18.73	82.6	84.7	103
J50G	71.17	−35.83	64.13	73.46	119
J75G	56.99	−54.71	43.72	70.05	141
G	52.8	−54.82	15.26	56.92	164
G25B	54.69	−46.87	−4.31	47.08	185
G50B	57.25	−36.1	−30.82	47.48	220
G75B	49.61	−13.51	−44.85	46.85	253
B	41.78	1.1	−44.7	44.72	271
B25R	29.34	24.33	−44.47	50.7	299
B50R	40.78	60.78	−20.18	64.05	342
B75R	48.06	71.56	13.77	72.87	11

Dreiecks-Helligkeit *t**

%Umfang
u^*_{rel} = 93
%Regularität
$g^*_{H,rel}$ = 57
$g^*_{C,rel}$ = 59

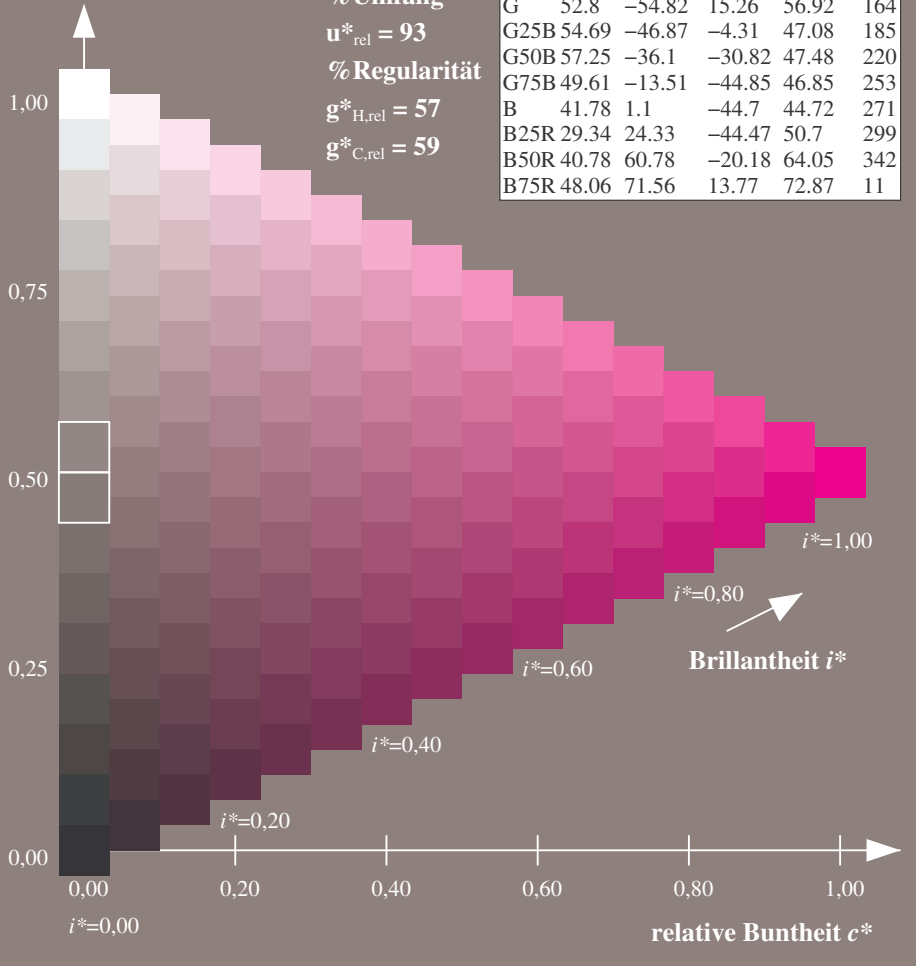

ZG640–7F, 9stufige Reihen für konstanten CIELAB Buntton 354/360 = 0.982 (links) Seite 6/10 ZG640–7F, 16stufige Reihen für konstanten CIELAB Buntton 354/360 = 0.982 (rechts)

Siehe ähnliche Dateien: http://www.ps.bam.de/ZG64/; www.ps.bam.de/ZG.HTM
Technische Information: http://www.ps.bam.de Version 2.1, io=1,1, CIELAB

BAM-Registrierung: 20071001-ZG64/10L/L64G00FA.PS/.TXT BAM-Material: Code=rha4ta
Anwendung für Beurteilung und Messung von Drucker– oder Monitorsystemen

Eingabe: Farbmetrisches Offset-Reflektiv-System ORS18

für Buntton *h = lab*h = 25/360 = 0.069**
lab*tch* und *lab*nch
D65: Buntton R
LCH*Ma: 48 75 25
olv*Ma: 1.0 0.0 0.32

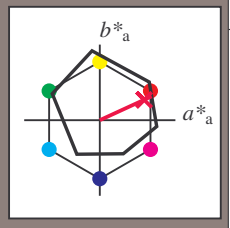

ORS18; adaptierte CIELAB-Daten

	$L^*=L^*_a$	a^*_a	b^*_a	$C^*_{ab,a}$	$h^*_{ab,a}$
O_{Ma}	47.94	65.39	50.52	82.63	38
Y_{Ma}	90.37	−10.26	91.75	92.32	96
L_{Ma}	50.9	−62.83	34.96	71.91	151
C_{Ma}	58.62	−30.34	−45.01	54.3	236
V_{Ma}	25.72	31.1	−44.4	54.22	305
M_{Ma}	48.13	75.28	−8.36	75.74	354
N_{Ma}	18.01	0.0	0.0	0.0	0
W_{Ma}	95.41	0.0	0.0	0.0	0
R_{CIE}	39.92	58.66	26.98	64.57	25
J_{CIE}	81.26	−2.16	67.76	67.79	92
G_{CIE}	52.23	−42.25	11.76	43.87	164
B_{CIE}	30.57	1.15	−46.84	46.86	271

Dreiecks-Helligkeit *t**

%Umfang
u^*_{rel} = 93
%Regularität
$g^*_{H,rel}$ = 57
$g^*_{C,rel}$ = 59

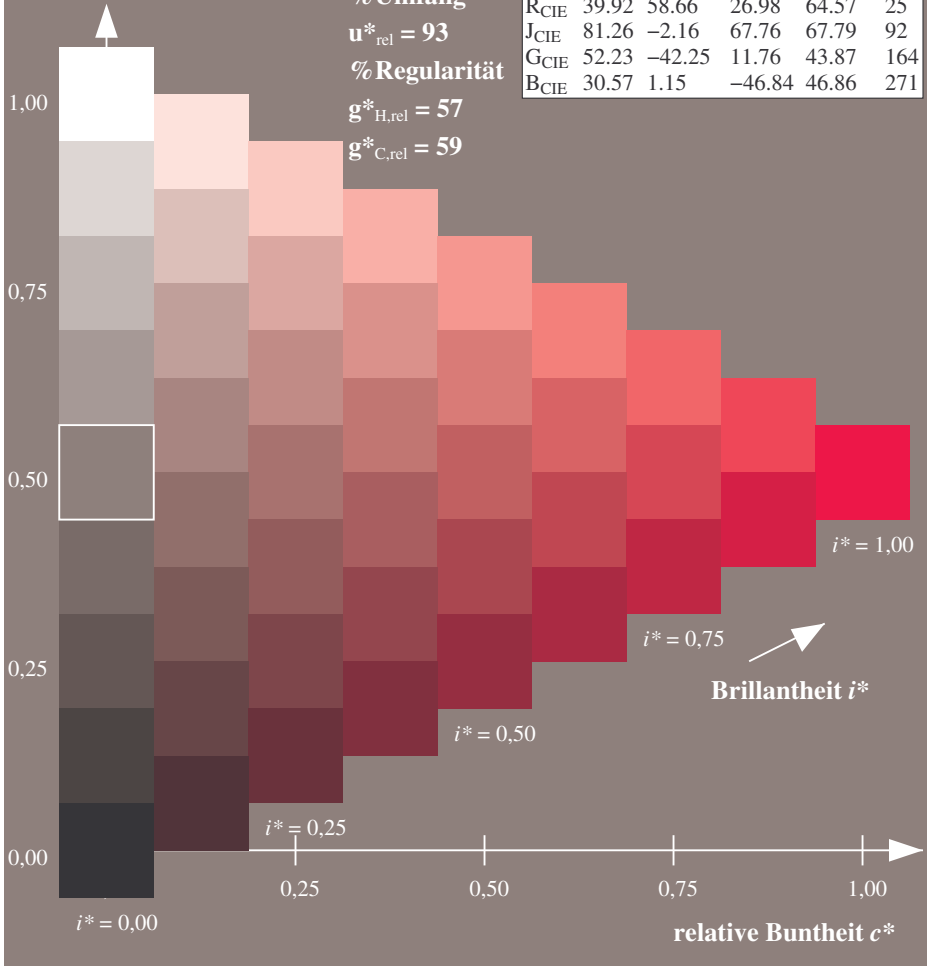

Ausgabe: Farbmetrisches Offset-Reflektiv-System ORS18

für Buntton *h = lab*h = 25/360 = 0.069**
lab*tch* und *lab*nch
D65: Buntton R
LCH*Ma: 48 75 25
olv*Ma: 1.0 0.0 0.32

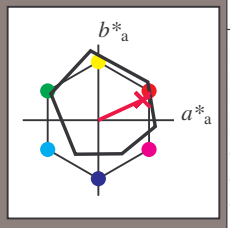

ORS18; adaptierte CIELAB-Daten

	$L^*=L^*_a$	a^*_a	b^*_a	$C^*_{ab,a}$	$h^*_{ab,a}$
R	48.0	68.58	31.54	75.48	25
R25J	50.11	61.52	52.63	80.96	41
R50J	62.87	38.77	65.02	75.71	59
R75J	74.87	17.37	76.69	78.63	77
J	86.19	−2.8	87.69	87.73	92
J25G	84.01	−18.73	82.6	84.7	103
J50G	71.17	−35.83	64.13	73.46	119
J75G	56.99	−54.71	43.72	70.05	141
G	52.8	−54.82	15.26	56.92	164
G25B	54.69	−46.87	−4.31	47.08	185
G50B	57.25	−36.1	−30.82	47.48	220
G75B	49.61	−13.51	−44.85	46.85	253
B	41.78	1.1	−44.7	44.72	271
B25R	29.34	24.33	−44.47	50.7	299
B50R	40.78	60.78	−20.18	64.05	342
B75R	48.06	71.56	13.77	72.87	11

Dreiecks-Helligkeit *t**

%Umfang
u^*_{rel} = 93
%Regularität
$g^*_{H,rel}$ = 57
$g^*_{C,rel}$ = 59

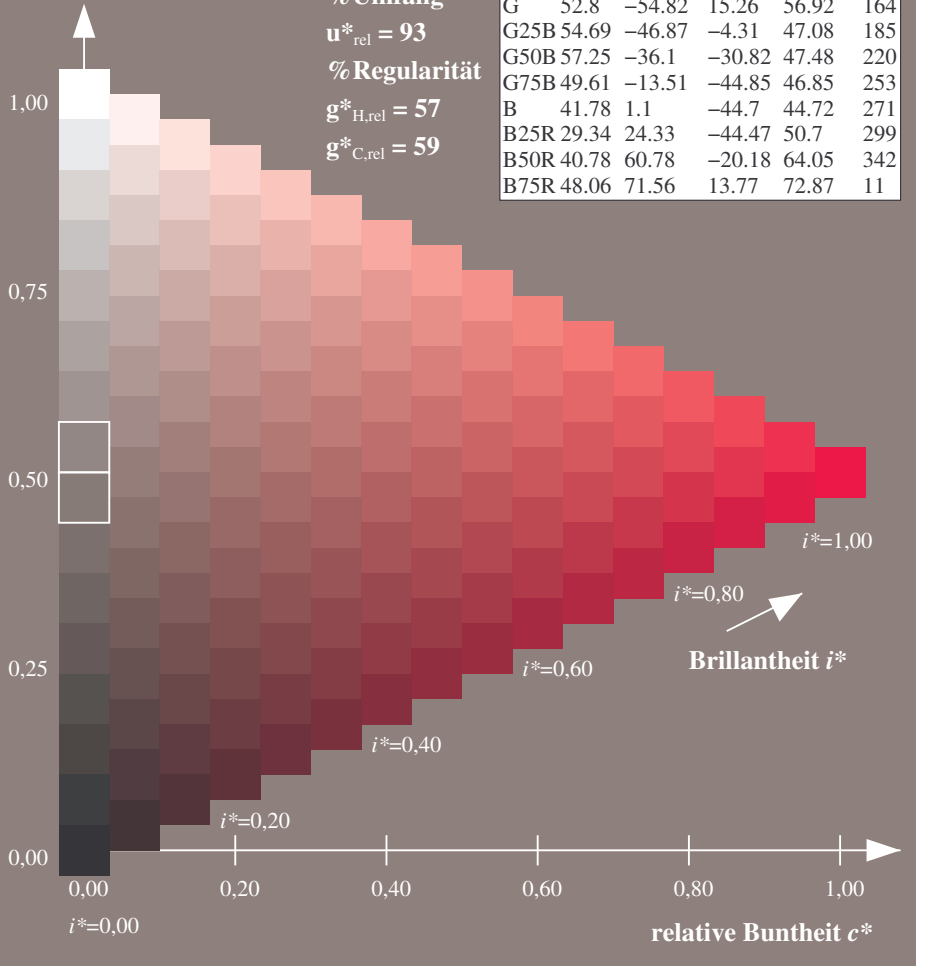

ZG640–7F, 9stufige Reihen für konstanten CIELAB Buntton 25/360 = 0.069 (links) Seite 7/10 ZG640–7F, 16stufige Reihen für konstanten CIELAB Buntton 25/360 = 0.069 (rechts)

Siehe ähnliche Dateien: http://www.ps.bam.de/ZG64/; www.ps.bam.de/ZG.HTM
Technische Information: http://www.ps.bam.de Version 2.1, io=1,1, CIELAB

BAM-Registrierung: 20071001-ZG64/10L/L64G00FA.PS/.TXT BAM-Material: Code=rha4ta
Anwendung für Beurteilung und Messung von Drucker– oder Monitorsystemen

Eingabe: Farbmetrisches Offset-Reflektiv-System ORS18

für Buntton *h = *lab*h* = 92/360 = 0.255**

lab*tch* und *lab*nch

D65: Buntton J

LCH*Ma: 86 88 92

olv*Ma: 1.0 0.9 0.0

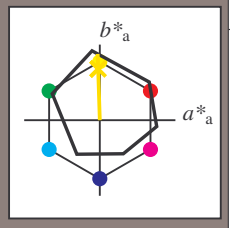

ORS18; adaptierte CIELAB-Daten

	$L^*=L^*_a$	a^*_a	b^*_a	$C^*_{ab,a}$	$h^*_{ab,a}$
O_{Ma}	47.94	65.39	50.52	82.63	38
Y_{Ma}	90.37	−10.26	91.75	92.32	96
L_{Ma}	50.9	−62.83	34.96	71.91	151
C_{Ma}	58.62	−30.34	−45.01	54.3	236
V_{Ma}	25.72	31.1	−44.4	54.22	305
M_{Ma}	48.13	75.28	−8.36	75.74	354
N_{Ma}	18.01	0.0	0.0	0.0	0
W_{Ma}	95.41	0.0	0.0	0.0	0
R_{CIE}	39.92	58.66	26.98	64.57	25
J_{CIE}	81.26	−2.16	67.76	67.79	92
G_{CIE}	52.23	−42.25	11.76	43.87	164
B_{CIE}	30.57	1.15	−46.84	46.86	271

Dreiecks-Helligkeit *t**

%Umfang

u^*_{rel} = 93

%Regularität

$g^*_{H,rel}$ = 57

$g^*_{C,rel}$ = 59

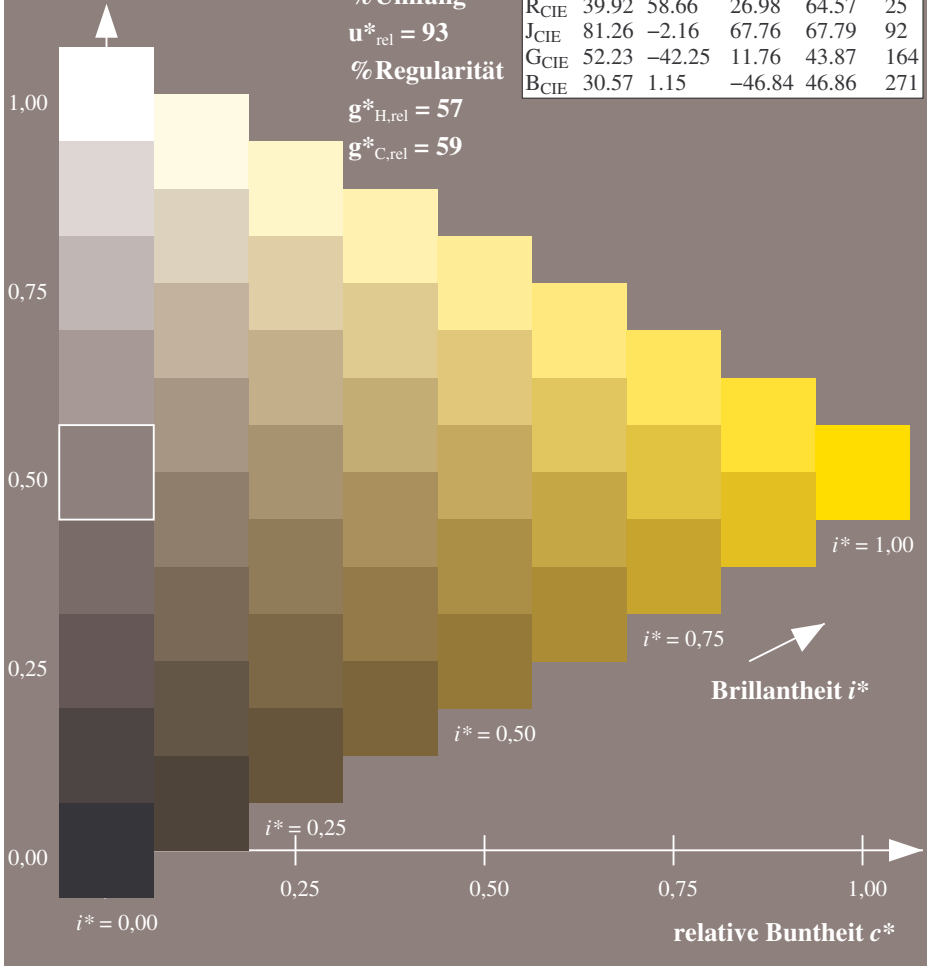

Ausgabe: Farbmetrisches Offset-Reflektiv-System ORS18

für Buntton *h = *lab*h* = 92/360 = 0.255**

lab*tch* und *lab*nch

D65: Buntton J

LCH*Ma: 86 88 92

olv*Ma: 1.0 0.9 0.0

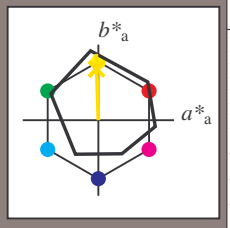

ORS18; adaptierte CIELAB-Daten

	$L^*=L^*_a$	a^*_a	b^*_a	$C^*_{ab,a}$	$h^*_{ab,a}$
R	48.0	68.58	31.54	75.48	25
R25J	50.11	61.52	52.63	80.96	41
R50J	62.87	38.77	65.02	75.71	59
R75J	74.87	17.37	76.69	78.63	77
J	86.19	−2.8	87.69	87.73	92
J25G	84.01	−18.73	82.6	84.7	103
J50G	71.17	−35.83	64.13	73.46	119
J75G	56.99	−54.71	43.72	70.05	141
G	52.8	−54.82	15.26	56.92	164
G25B	54.69	−46.87	−4.31	47.08	185
G50B	57.25	−36.1	−30.82	47.48	220
G75B	49.61	−13.51	−44.85	46.85	253
B	41.78	1.1	−44.7	44.72	271
B25R	29.34	24.33	−44.47	50.7	299
B50R	40.78	60.78	−20.18	64.05	342
B75R	48.06	71.56	13.77	72.87	11

Dreiecks-Helligkeit *t**

%Umfang

u^*_{rel} = 93

%Regularität

$g^*_{H,rel}$ = 57

$g^*_{C,rel}$ = 59

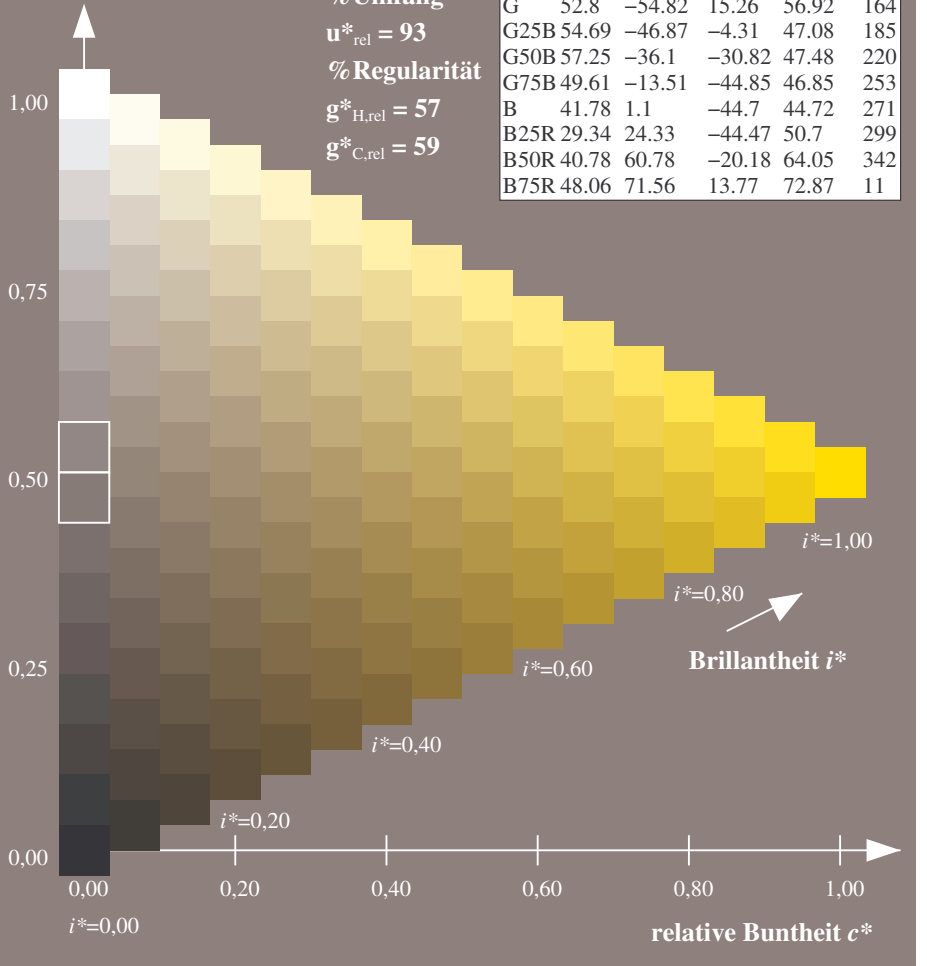

ZG640–7F, 9stufige Reihen für konstanten CIELAB Buntton 92/360 = 0.255 (links) Seite 8/10 ZG640–7F, 16stufige Reihen für konstanten CIELAB Buntton 92/360 = 0.255 (rechts)

Siehe ähnliche Dateien: http://www.ps.bam.de/ZG64/; www.ps.bam.de/ZG.HTM
Technische Information: http://www.ps.bam.de Version 2.1, io=1,1, CIELAB

BAM-Registrierung: 20071001-ZG64/10L/L64G00FA.PS/.TXT BAM-Material: Code=rha4ta
Anwendung für Beurteilung und Messung von Drucker– oder Monitorsystemen

Eingabe: Farbmetrisches Offset-Reflektiv-System ORS18

für Buntton *h = lab*h = 164/360 = 0.457**
lab*tch* und *lab*nch
D65: Buntton G
LCH*Ma: 53 57 164
olv*Ma: 0.0 1.0 0.25

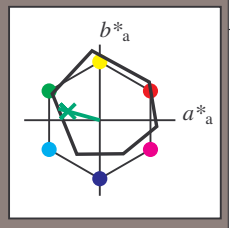

ORS18; adaptierte CIELAB-Daten

	$L^*=L^*_a$	a^*_a	b^*_a	$C^*_{ab,a}$	$h^*_{ab,a}$
O_{Ma}	47.94	65.39	50.52	82.63	38
Y_{Ma}	90.37	−10.26	91.75	92.32	96
L_{Ma}	50.9	−62.83	34.96	71.91	151
C_{Ma}	58.62	−30.34	−45.01	54.3	236
V_{Ma}	25.72	31.1	−44.4	54.22	305
M_{Ma}	48.13	75.28	−8.36	75.74	354
N_{Ma}	18.01	0.0	0.0	0.0	0
W_{Ma}	95.41	0.0	0.0	0.0	0
R_{CIE}	39.92	58.66	26.98	64.57	25
J_{CIE}	81.26	−2.16	67.76	67.79	92
G_{CIE}	52.23	−42.25	11.76	43.87	164
B_{CIE}	30.57	1.15	−46.84	46.86	271

Dreiecks-Helligkeit *t**

%Umfang
u^*_{rel} = 93
%Regularität
$g^*_{H,rel}$ = 57
$g^*_{C,rel}$ = 59

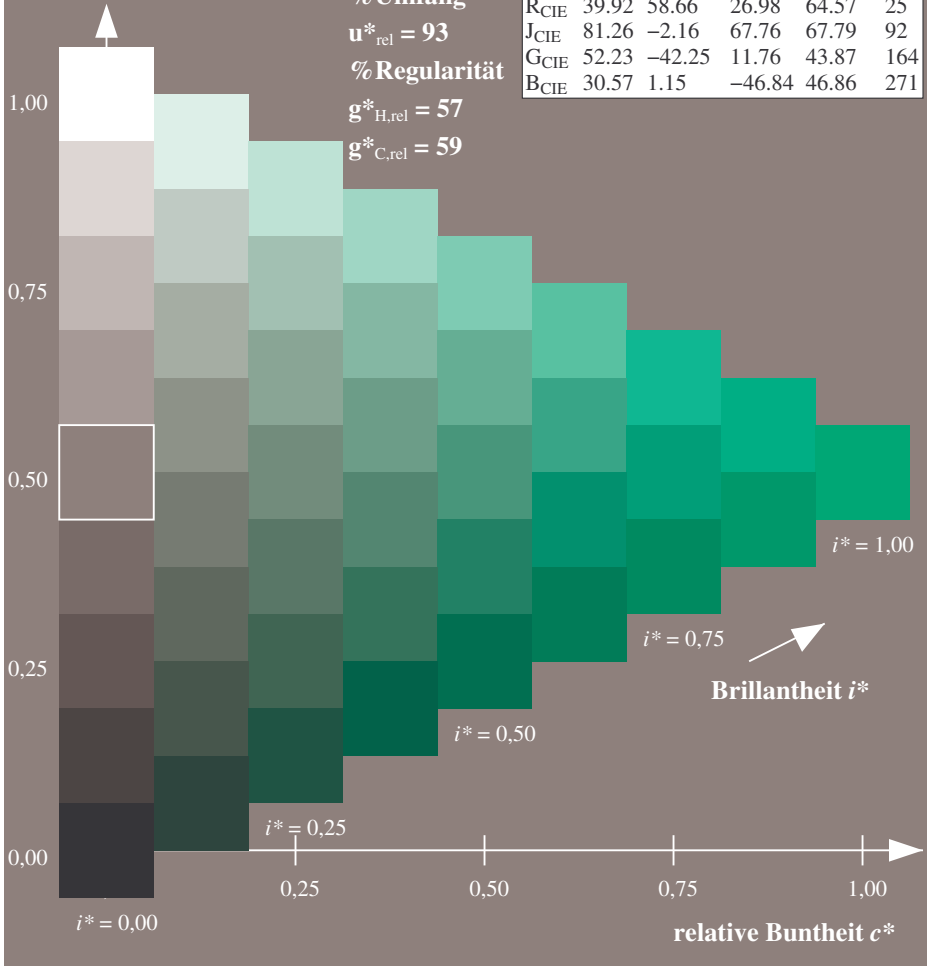

ZG640–7F, 9stufige Reihen für konstanten CIELAB Buntton 164/360 = 0.457 (links)

Ausgabe: Farbmetrisches Offset-Reflektiv-System ORS18

für Buntton *h = lab*h = 164/360 = 0.457**
lab*tch* und *lab*nch
D65: Buntton G
LCH*Ma: 53 57 164
olv*Ma: 0.0 1.0 0.25

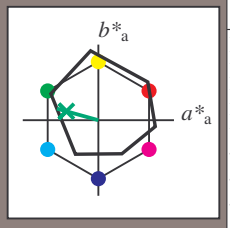

ORS18; adaptierte CIELAB-Daten

	$L^*=L^*_a$	a^*_a	b^*_a	$C^*_{ab,a}$	$h^*_{ab,a}$
R	48.0	68.58	31.54	75.48	25
R25J	50.11	61.52	52.63	80.96	41
R50J	62.87	38.77	65.02	75.71	59
R75J	74.87	17.37	76.69	78.63	77
J	86.19	−2.8	87.69	87.73	92
J25G	84.01	−18.73	82.6	84.7	103
J50G	71.17	−35.83	64.13	73.46	119
J75G	56.99	−54.71	43.72	70.05	141
G	52.8	−54.82	15.26	56.92	164
G25B	54.69	−46.87	−4.31	47.08	185
G50B	57.25	−36.1	−30.82	47.48	220
G75B	49.61	−13.51	−44.85	46.85	253
B	41.78	1.1	−44.7	44.72	271
B25R	29.34	24.33	−44.47	50.7	299
B50R	40.78	60.78	−20.18	64.05	342
B75R	48.06	71.56	13.77	72.87	11

Dreiecks-Helligkeit *t**

%Umfang
u^*_{rel} = 93
%Regularität
$g^*_{H,rel}$ = 57
$g^*_{C,rel}$ = 59

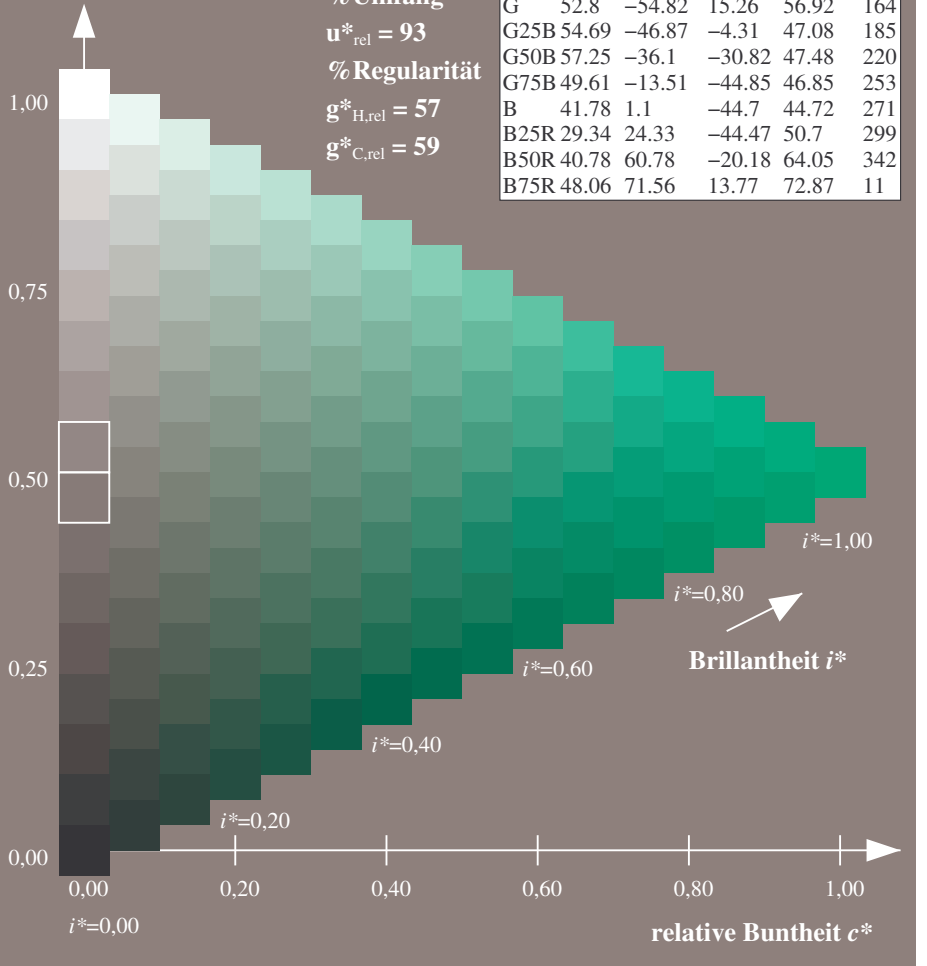

ZG640–7F, 16stufige Reihen für konstanten CIELAB Buntton 164/360 = 0.457 (rechts)

BAM-Prüfvorlage ZG64; Farbmetrik-Systeme, Seite 9/10
D65: 9 und 16stufige Farbreihen für 10 Bunttöne

Eingabe: *rgb / cmy0 set(rgb/cmyk)color*
Ausgabe: *–>LAB*–>cmy0* setcmykcolor*

Siehe ähnliche Dateien: http://www.ps.bam.de/ZG64/; www.ps.bam.de/ZG.HTM
Technische Information: http://www.ps.bam.de Version 2.1, io=1,1, CIELAB

BAM-Registrierung: 20071001-ZG64/10L/L64G00FA.PS/.TXT BAM-Material: Code=rha4ta
Anwendung für Beurteilung und Messung von Drucker– oder Monitorsystemen

Eingabe: Farbmetrisches Offset-Reflektiv-System ORS18

für Buntton *h = *lab*h* = 271/360 = 0.754**

lab*tch* und *lab*nch

D65: Buntton B

LCH*Ma: 42 45 271

olv*Ma: 0.0 0.49 1.0

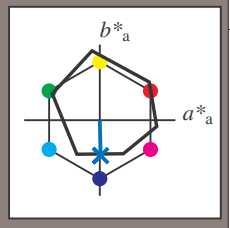

ORS18; adaptierte CIELAB-Daten

	$L^*=L^*_a$	a^*_a	b^*_a	$C^*_{ab,a}$	$h^*_{ab,a}$
O_{Ma}	47.94	65.39	50.52	82.63	38
Y_{Ma}	90.37	−10.26	91.75	92.32	96
L_{Ma}	50.9	−62.83	34.96	71.91	151
C_{Ma}	58.62	−30.34	−45.01	54.3	236
V_{Ma}	25.72	31.1	−44.4	54.22	305
M_{Ma}	48.13	75.28	−8.36	75.74	354
N_{Ma}	18.01	0.0	0.0	0.0	0
W_{Ma}	95.41	0.0	0.0	0.0	0
R_{CIE}	39.92	58.66	26.98	64.57	25
J_{CIE}	81.26	−2.16	67.76	67.79	92
G_{CIE}	52.23	−42.25	11.76	43.87	164
B_{CIE}	30.57	1.15	−46.84	46.86	271

Dreiecks-Helligkeit *t**

%Umfang

u^*_{rel} = 93

%Regularität

$g^*_{H,rel}$ = 57

$g^*_{C,rel}$ = 59

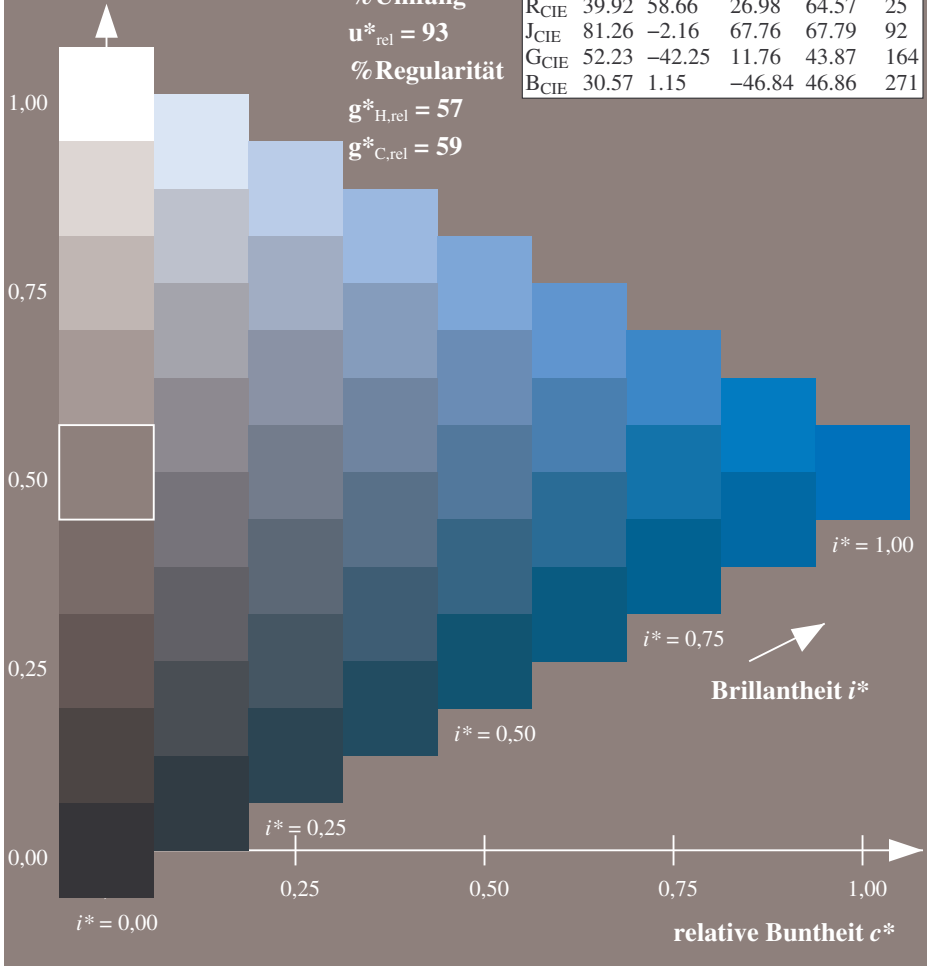

Ausgabe: Farbmetrisches Offset-Reflektiv-System ORS18

für Buntton *h = *lab*h* = 271/360 = 0.754**

lab*tch* und *lab*nch

D65: Buntton B

LCH*Ma: 42 45 271

olv*Ma: 0.0 0.49 1.0

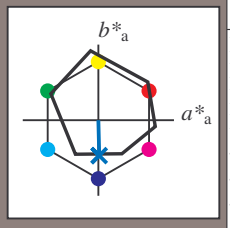

ORS18; adaptierte CIELAB-Daten

	$L^*=L^*_a$	a^*_a	b^*_a	$C^*_{ab,a}$	$h^*_{ab,a}$
R	48.0	68.58	31.54	75.48	25
R25J	50.11	61.52	52.63	80.96	41
R50J	62.87	38.77	65.02	75.71	59
R75J	74.87	17.37	76.69	78.63	77
J	86.19	−2.8	87.69	87.73	92
J25G	84.01	−18.73	82.6	84.7	103
J50G	71.17	−35.83	64.13	73.46	119
J75G	56.99	−54.71	43.72	70.05	141
G	52.8	−54.82	15.26	56.92	164
G25B	54.69	−46.87	−4.31	47.08	185
G50B	57.25	−36.1	−30.82	47.48	220
G75B	49.61	−13.51	−44.85	46.85	253
B	41.78	1.1	−44.7	44.72	271
B25R	29.34	24.33	−44.47	50.7	299
B50R	40.78	60.78	−20.18	64.05	342
B75R	48.06	71.56	13.77	72.87	11

Dreiecks-Helligkeit *t**

%Umfang

u^*_{rel} = 93

%Regularität

$g^*_{H,rel}$ = 57

$g^*_{C,rel}$ = 59

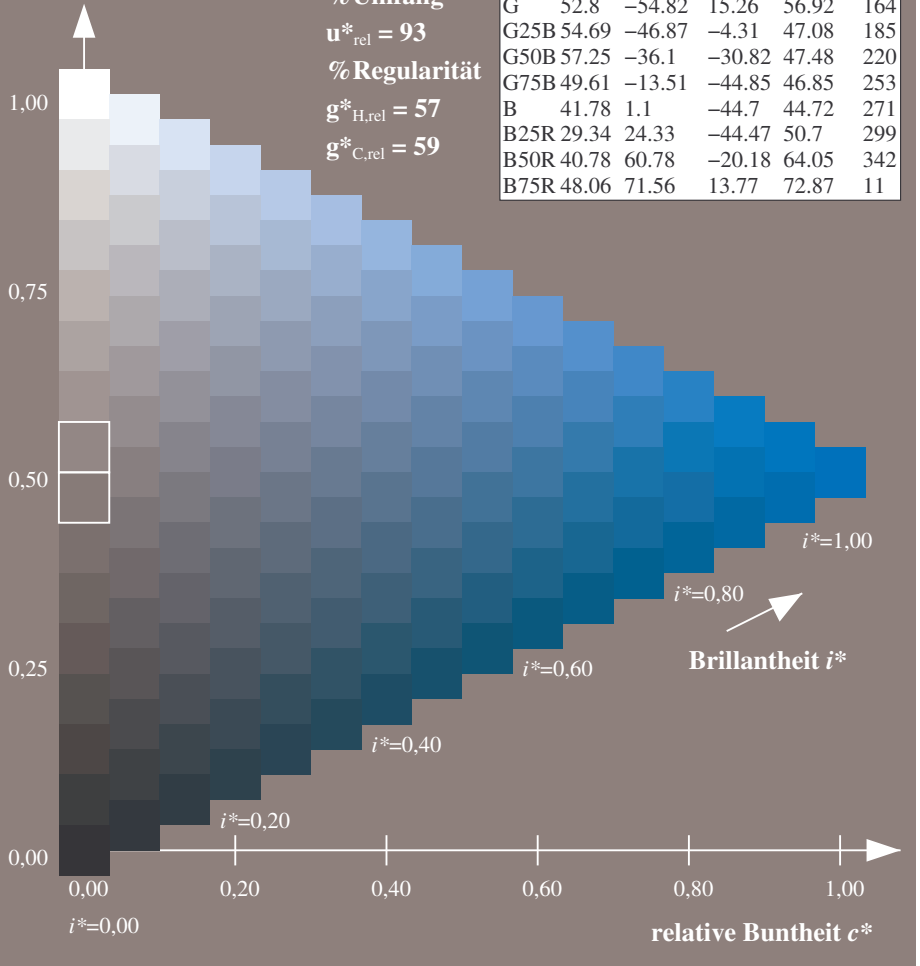

ZG640–7F, 9stufige Reihen für konstanten CIELAB Buntton 271/360 = 0.754 (links) Seite 10/10 ZG640–7F, 16stufige Reihen für konstanten CIELAB Buntton 271/360 = 0.754 (rechts)

BAM-Prüfvorlage ZG64; Farbmetrik-Systeme, Seite 10/10 Eingabe: *rgb / cmy0 set(rgb/cmyk)color*
D65: 9 und 16stufige Farbreihen für 10 Bunttöne Ausgabe: *–>LAB*–>cmy0* setcmykcolor*